

Revista Estomatológica Herediana

ISSN: 1019-4355 ISSN: 2225-7616

faest.revista@oficinas-upch.pe

Universidad Peruana Cayetano Heredia

Perú

# Adaptación de cofias Co-Cr fabricadas por colado por inducción y fusión selectiva láser en CAD/CAM con escaneo clínico

Spoljaric Muñoz, María Alejandra; Pacheco Cahuas, María Daniela; Castillo Andamayo, Diana Esmeralda; Quintana del Solar, Martín Gilberto

Adaptación de cofias Co-Cr fabricadas por colado por inducción y fusión selectiva láser en CAD/CAM con escaneo clínico

Revista Estomatológica Herediana, vol. 30, núm. 3, 2020

Universidad Peruana Cayetano Heredia, Perú

Disponible en: https://www.redalyc.org/articulo.oa?id=421566120006

DOI: https://doi.org/10.20453/reh.v30i3.3818



Esta obra está bajo una Licencia Creative Commons Atribución 4.0 Internacional.



### Artículos originales

## Adaptación de cofias Co-Cr fabricadas por colado por inducción y fusión selectiva láser en CAD/CAM con escaneo clínico

Adaptation of Co-Cr copings made by induction casting and selective laser melting in CAD/CAM with clinical scanning

María Alejandra Spoljaric Muñoz <sup>a b</sup> maria.spoljaric@upch.pe
Universidad Peruana Cayetano Heredia, Perú
María Daniela Pacheco Cahuas <sup>a b</sup>
Universidad Peruana Cayetano Heredia, Perú
Diana Esmeralda Castillo Andamayo <sup>a b c d</sup>
Universidad Peruana Cayetano Heredia, Perú
Martín Gilberto Quintana del Solar <sup>a b c d</sup>
Universidad Peruana Cayetano Heredia, Perú

Revista Estomatológica Herediana, vol. 30, núm. 3, 2020

Universidad Peruana Cayetano Heredia, Perú

Recepción: 20 Diciembre 2019 Aprobación: 15 Abril 2020

**DOI:** https://doi.org/10.20453/reh.v30i3.3818

Redalyc: https://www.redalyc.org/articulo.oa?id=421566120006

Resumen: La técnica de cera perdida colada por centrifugación por inducción (CPCI) y fusión selectiva láser (SLM) en diseño y fabricación asistida por computador (CAD/ CAM) con escaneo clínico, son técnicas para fabricar cofias de Cobalto-Cromo (Co-Cr), poseen diferentes procesos de elaboración. Objetivo: Evaluar in vitro la adaptación marginal e interna de cofias metálicas de Co-Cr confeccionadas sobre una línea de terminación chámfer con la técnica CPCI y SLM en CAD/CAM con escaneo clínico. Material y Métodos: Se confeccionó un modelo maestro de forma de premolar de Co-Cr en CAD/CAM con línea de terminación chamfer. Con un escáner clínico se escaneó el modelo maestro y se obtuvo 13 cofias Co-Cr fabricadas en SLM. Se tomaron impresiones para obtener modelos en veso tipo IV donde se fabricaron 13 cofias de Co-Cr con técnica CPCI. La adaptación marginal e interna se evaluó usando la técnica de réplica de silicona, las muestras fueron divididas en segmentos: vestíbulo-palatino y mesiodistal y fueron evaluadas mediante estéreomicroscopio. Resultados: La discrepancia marginal e interna fueron menores para el grupo de CPCI en comparación a la técnica SLM en CAD/CAM con escaneo clínico. Además los resultados obtenidos para la adaptación marginal fueron menores a 120 µm y la adaptación interna menor a 350 um para ambas técnicas. Conclusiones: La adaptación marginal e interna en la técnica CPCI en comparación con SLM en CAD/CAM con escaneo clínico fueron mejores con diferencia estadísticamente significativa (p<0.05). Además los resultados obtenidos se encontraban dentro de los parámetros clínicamente aceptables.

**Palabras clave:** Diseño asistido por computador, adaptación, láseres de estado sólido, técnica de colado dental.

Abstract: The technique of lost wax cast by induction centrifugation (CPCI) and selective laser fusion (SLM) in design and computer-aided manufacturing (CAD / CAM) with clinical scanning, are techniques for manufacturing cobalt-chromium copings (Co-Cr), have different production processes. *Objective:* To evaluate, in vitro, the marginal and internal adaptation of Co-Cr metal copings made on a chamfer termination line with the CPCI and SLM technique in CAD / CAM with clinical scanning. *Material and Methods:* A master model of Co-Cr premolar shape was



made in CAD / CAM with chamfer termination line. With a clinical scanner, the master model was scanned and 13 Co-Cr copings manufactured in SLM were obtained. Impressions were taken to obtain models in type IV plaster where 13 Co-Cr copings with CPCI technique were manufactured. The marginal and internal adaptation was evaluated using the silicone replica technique, the samples were divided into segments: vestibulo-palatal and mesio-distal and were evaluated by stereo microscope. *Results:* The marginal and internal discrepancies were lower for the CPCI group compared to the SLM technique in CAD / CAM with clinical scanning. In addition, the results obtained for the marginal adaptation were less than 120  $\mu m$  and the internal adaptation less than 350  $\mu m$  for both techniques. *Conclusions:* The marginal and internal adaptation in the CPCI technique compared to SLM in CAD/CAM with clinical scan were better with statistically significant difference (p < 0.05). In addition, the results obtained were within the clinically acceptable paramenters.

**Keywords:** Computer aided design, adaptation, solid state lasers, dental casting technique.

## INTRODUCCIÓN

Para la confección de prótesis fija uno de los pasos más importantes para su fabricación es crear una réplica detallada: la preparación dentaria (1). Existen distintos factores que van a conllevar a un tratamiento exitoso a largo plazo, uno de ellos, es la adaptación marginal que depende de la localización del margen gingival, diseño de la preparación dentaria, tipo de técnica de impresión, técnica de fabricación y materiales utilizados para su fabricación (2). Adaptación marginal se define como "el adecuado ajuste entre la línea de terminación de la preparación dentaria y el margen cervical de la corona" (3). La distancia vertical que existe entre la línea cervical de la preparación dentaria hasta el margen cervical de la corona se define como discrepancia marginal o "gap" marginal (4). La evaluación de la adaptación marginal se puede realizar tomando una medida perpendicular desde la superficie interna de la restauración dentaria hasta la línea de terminación de la preparación dentaria, es considerado como un criterio clínico importante para la calidad clínica (5-7). McLean y von Fraunhofer indicaron que la restauración puede ser exitosa con una adaptación marginal en un rango de 50 a 120 μm, dichas medidas se encuentran dentro de los parámetros clínicamente aceptables (8). Adaptación interna se define como "el ajuste entre la restauración protésica y la superficie de la preparación dentaria" (3). La distancia perpendicular entre la restauración y la superficie de la preparación dentaria se define como discrepancia interna, esta debe ser uniforme en toda su extensión para así no afectar la retención y resistencia (9). La discrepancia interna se puede medir en 4 zonas: cervical, axial, cuspídea y oclusal (10). No hay un conceso entre autores, pero la mayoría coincide en que la discrepancia interna debe ser uniforme en un rango de 50 a 350 μm (2). Muchos investigadores han acordado que el uso de espaciadores durante la fabricación de cofias de Cobalto-Cromo (Co-Cr) mejora la adaptación de la cofia y puede favorecer la retención, reduce las áreas de tensión por ende da una buena adaptación y retención de la restauración (11).



El espacio para el cemento tiene un papel importante, se ha demostrado que un troquel con un espaciador de 25 µm mejora el asentamiento de la corona y aumenta la retención en un 25%(12). Según Olivera y Saito (11) evaluaron el efecto del espacio para el cemento en la adaptación y retención de coronas, obtuvieron mejores resultados para adaptación marginal cuando el espaciador cubrió todo excepto el área cervical a menos de 0,5 mm del margen de la preparación. Para poder medir la discrepancia marginal e interna en prótesis fija existen diferentes métodos, uno de ellos es mediante el análisis visual directo, otro método es la técnica de réplica de silicona, donde se evalúa el espesor de la película de cemento y nos permite realizar esta evaluación in vivo (1,7,13,14). Aunque Naert et al. (14) indicaron que no existe un método estandarizado para realizar la medida de la adaptación marginal. Otro factor es realizar una adecuada preparación de las paredes y línea de terminación, que debe de seguir principios biomecánicos de las preparaciones dentarias (15). El material empleado para la confección de prótesis fija es otro factor importante, una de las aleaciones utilizadas para la infraestructura de prótesis fija es Co-Cr la cual presenta un rendimiento comparable a otras aleaciones metal base (16,17). En la actualidad existen varias técnicas de impresiones convencionales con diversos materiales, los cuales muestran buena estabilidad dimensional y alta precisión (12,18). La evolución de la tecnología digital ha introducido el uso de escáner clínicos y de laboratorio además de la fabricación de coronas mediante diseño y fabricación asistida por computadora (CAD/CAM), simplificando la confección de prótesis permitiendo crear imágenes en 3D, digitalizando imágenes de la preparación y fabricando la restauración de manera digital (1,2,7,19). Uno de los sistemas digitales es el CEREC AC Omnicam (Dentsplay Sirona Inc, Philadelphia, USA) que funciona mediante el principio de triangulación (19,20). Las técnicas CAD/CAM para la confección de cofias metálicas son aditivas o sustractivas, uno de los sistemas aditivos es la fusión selectiva láser (SLM), la cual minimiza errores que se pueden producir en laboratorio, presenta menor porosidad y por ende crea un material denso de mejor calidad, se obtiene mejor adaptación marginal e interna y alta resistencia a la corrosión (21,22). Xu et al. (23) evaluaron la adaptación marginal de cofias metálicas de Co-Cr confeccionadas por técnica de colado por centrifugación por inducción y SLM usando un escáner de laboratorio 3Shape D700 (3Shape A/S, Copenhague, Dinamarca) y encontraron que el ancho del gap marginal de las cofias coladas eran significativamente mayores (170.19 µm) que las confeccionadas por técnica SLM (102.86 µm), demostrando que las cofias hechas por SLM presentan mejor adaptación marginal. Existen estudios que evalúan y comparan diferentes sistemas de impresión digital versus impresión convencional para la confección de prótesis fijas libres de metal, sin embargo hasta hoy no hay suficientes estudios que evalúen la aplicación de impresiones digitales con escáner clínico para la elaboración de cofias de Co-Cr mediante la técnica SLM comparándola con la técnica de la cera perdida colada por centrifugación por inducción (CPCI). El propósito de este estudio fue evaluar in vitro la adaptación marginal e



interna de cofias metálicas unitarias de aleación Co-Cr sobre una línea de terminación tipo chamfer fabricadas por las técnicas CPCI y SLM en CAD/CAM con escaneo clínico CEREC Omnicam.

## **MATERIAL Y MÉTODOS**

El presente estudio fue de tipo experimental In vitro. Se diseñó virtualmente un modelo maestro de un premolar superior el cual se realizó mediante el software 3D Autodex Inventor Professional 2017 en formato STL, la preparación tuvo un ángulo de convergencia de 12 grados, cúspide vestibular de 6mm de alto y cúspide palatina de 5mm de alto desde la línea de terminación hasta la punta de cúspide, tipo de terminación chamfer de 1mm; la curvatura de la línea de terminación proximal fue de 0,8 mm con respecto a vestibular y lingual. Posteriormente se imprimió el diseño en aleación Co-Cr en SLM Mlab Cusing R (Concept Láser, Lichtenfels, Germany) (figura 1(A)) (25). Luego se tomaron las impresiones con silicona de adición fluida y pesada al modelo maestro (13 para la técnica CPCI) (figura 1 (B)). Se realizó el vaciado de modelos en yeso tipo IV (figura 2), obteniendo 13 modelos de yeso para la técnica de CPCI, cada uno de los modelos se delimito con lápiz rojo la línea de terminación del margen cervical. Se aplicó un sellador de poros o endurecedor de 0 um die: master du#o (Renfert GmbH, Hilzingen, Germany), luego se aplicó dos capas de espaciador Pico fit (Renfert GmbH, Hilzingen, Germany) + die: master gold (Renfert GmbH, Hilzingen, Germany de 20 µm a 1mm por encima de la línea de terminación y por último se aplicó en todo el muñón una capa de aislante para cera basado en silicona Picosep (Renfert GmbH, Hilzingen, Germany) que presenta una micropelícula de 10µm. Se obtuvo finalmente como medidas 10 μm en la zona cervical y 50 μm en la zona interna (axiales y oclusal). Para la confección del patrón de cera, se colocó cera cervical roja StarWax C (Dentaurum GmbH, Ispringen, Germany) en todo el muñon, posteriormente se utilizó la técnica de cera perdida por inmersión en el Renfert Hotty (Renfert GmbH, Hilzingen, Alemania) y cera GEO-DIP (Renfert GmbH, Hilzingen, Alemania). La cofia inicialmente presentó 0.5mm de espesor en todas sus caras y se agregó cera para modelar crema StarWax D (Dentaurum GmbH, Ispringen, Germany) solo a nivel oclusal hasta lograr 1mm de espesor. Para el sellado de la cofia, se retiró el collarín de cera nivel cervical y luego, utilizando el instrumento PKT Nº1 se colocó nuevamente cera cervical roja StarWax C (Dentaurum GmbH, Ispringen, Germany) en el margen cervical y se eliminaron los excesos. Se colocó un bebedero de 2 mm de diámetro en un ángulo de 45° y una barra difusora de 4 mm de diámetro al patrón de cera ya formado. Se utilizaron un total de 4 crisoles y se fue colocando 4 patrones de cera por crisol. Se enceraron 16 patrones de cera para que luego de ser coladas, se escogieran 13 cofias según los criterios de selección ya que podía presentarse errores de colado en algunas cofias. Cada crisol fue previamente envaselinado para luego ser revestido con yeso refractario y obtener los cilindros de revestimiento. Cada cilindro se colocó en el horno de calentamiento



rápido Ney Vulcan° 3-550 (Dentsplay Sirona Inc, Philadelphia, USA) para la eliminación de cera. Para el colado de la aleación Co-Cr Cromoron Premium C (DG Dental d.o.o, Gornji Grad, Slovenia) se usó la máquina Fornax° T (BEGO GmbH, Bremen, Alemania) de 3600 VA, la cual es una máquina centrífuga para colado con calentamiento por inducción eléctrica de gran potencia y refrigeración integrada. Se dejó enfriar los cilindros a temperatura ambiente y se realizó el desrevestido del yeso. Luego se verificó el asentamiento de las cofias de forma visual sobre el modelo maestro, las que no ingresaron fueron desgastadas con una fresa de punta de carburo tunsgteno hasta conseguir un asentamiento adecuado. Finalmente se procedió a realizar el recorte de los bebederos, el pulido con cauchos y arenado con polvo de óxido de aluminio blanco de 110 μm (Protechno, Girona, España).

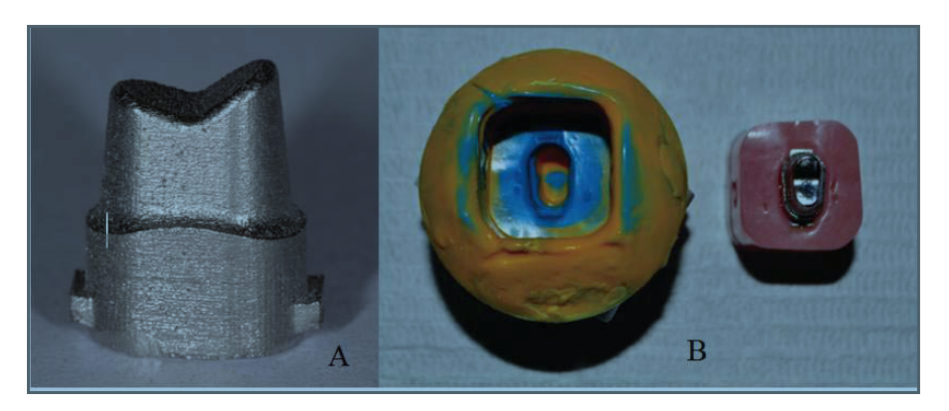


Figura 1. Proceso para la impresión del diseño: A) Modelo maestro ; B) Impresión definitiva.



Figura 2. Modelo de trabajo tras aplicación de mezcla (espaciador pico fit y die: master gold)

Para la confección de cofias de SLM Se realizó el escaneado del modelo maestro fijado en la maqueta de hemiarcada con dientes de acrílico) (figura 3 (A)); se procedió a realizar el escaneado con el escáner clínico CEREC Omnicam (Dentsplay Sirona Inc, Philadelphia, USA), se siguió con las indicaciones y protocolo de escaneado según indicaciones del fabricante. Para el diseño de las cofias metálicas se usó el archivo STL obtenido del escaneado clínico) (figura 3 (B y C)), el cual se subió al software 3Shape Dental Designer (3Shape, Copenhagen, Denmark) diseñando las cofias con un grosor de 0,5mm en todas sus caras excepto en oclusal donde fue de 1mm. Se usaron las medidas obtenidas del estudio piloto de 60 μm en la zona cervical y 40 μm en la zona interna (axial y oclusal). Posteriormente, se imprimieron en 3D con la máquina de



SLM MLabCusing (Concept Láser, Lichtenfels, Germany), utilizando el polvo de Co-Cr Remanium® star CL (Dentaurum GmbH, Ispringen, Germany) de 10 a 30 µm. Se retiraron las cofias y se arenaron en la máquina Basic eco (Renfert GmbH, Hilzingen, Alemania) con polvo de óxido de aluminio blanco de 110 μm (Protechno, Girona, España) a 2 bar de presión. Para la evaluación de adaptación marginal e interna se evaluó mediante la técnica de réplica de silicona usando el vinil polieter silicona (VPES) blanco Fit Checker™ Advance (GC Corporation, Tokyo, Japan). Se colocó en el interior de la cofia el VPES con la ayuda de una pistola de silicona utilizando una punta mezcladora con un tiempo de trabajo de 1 minuto según indicaciones del fabricante, posteriormente se asentó dicha cofia sobre el modelo maestro y luego se aplicó presión constante a una presión de 50 N por 1 minuto, la máquina de ensayo universal fue Instron CTM-5L (LG Electronics, Seúl, Korea) (figura 4 (A)). Se retiró la cofia del modelo maestro y se inyectó sobre la VPES silicona fluida de adición para simular el muñón obteniendo la réplica de silicona, se realizaron dos cortes en sentido vestíbulo-palatino y mesio-distal. La numeración "1" correspondió al corte en sentido vestíbulo-palatino donde el punto al fue el punto marginal vestibular y fl fue el punto marginal palatino, b1 y e1 representaron las zonas axiales, c1 y d1 la zona oclusal. La numeración "2" correspondió al corte en sentido mesio-distal donde el punto a2 fue el punto marginal mesial y f2 fue el punto marginal distal, b2 y e2 representaron las zonas axiales, c2 y d2 las zonas oclusales. Se evaluó las discrepancias marginales e internas en un estéreomicroscopio Greenough Leica S8 APO (Leica Biosystems GmbH, Wetzlar, Germany) a un aumento de 40X con el software Leica Application Suite LAS v3.4 (Leica Biosystems GmbH, Wetzlar, Germany) (figura 4(B)), medidos en micrómetros (µm). Se utilizó el programa STATA versión 12 para el análisis univariado y bivariado, donde se evaluaron los supuestos de normalidad con la prueba de Shapiro-Wilk. Se empleó la prueba t de Student para distribución normal y la prueba U Mann-Whitney si no se presentó distribución normal. El presente estudio utilizó un nivel de confianza al 95% (p < 0,05) y fue aprobado por el Comité Institucional de Ética de la Universidad Peruana Cayetano Heredia.

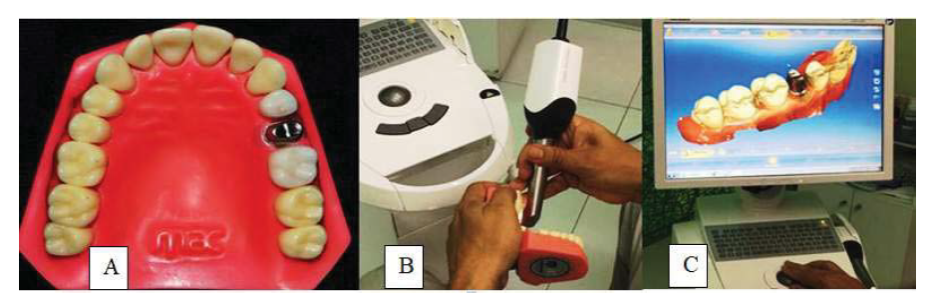


Figura 3. Modelo de trabajo en hemiarcada (A), escanedo con escáner clínico CEREC Omnicam (B y C)



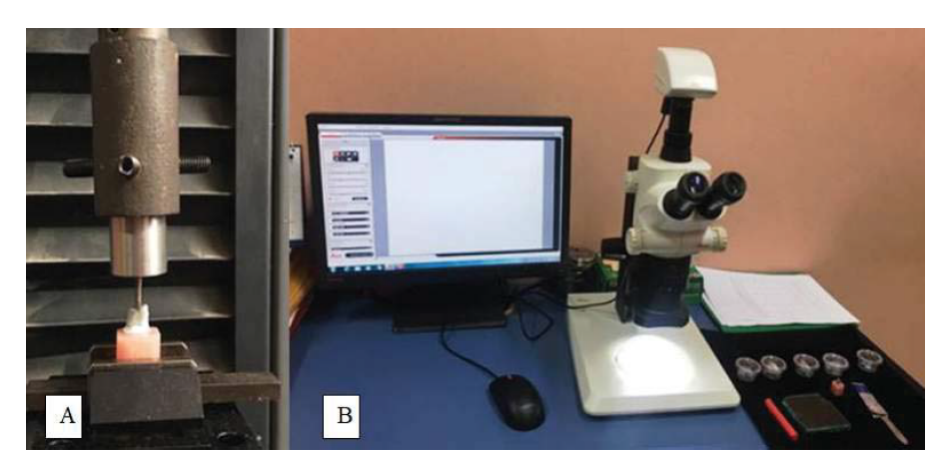


Figura 4. A) Maquina d ensayo Universal Instron; B) Estereomicroscopio.

**Tabla 1**. Discrepancia marginal de cofias unitarias de aleación Co-Cr confeccionadas sobre una línea determinación tipo chamfer con la técnica CPCI, según tipo de corte y punto de medición marginal.

Tipo de corte	Punto Marginal	Min	Max	Promedio	D.E.	Normalidad
Vestíbulo-Palatino	a1	20.00	38.31	28.01	5.23	0.84218
vestibulo-ralatilio	f1	23.76	51.73	35.19	8.92	0.29468
M ' D' . I	a2	18.68	81.47	48.32	18.91	0.99042
Mesio-Distal	f2	29.00	88.09	61.34	20.02	0.43252
Discrepancia Marginal To	tal	18.68	88.09	43.21	19.22	0.00021

Prueba Shapiro Wilk (normalidad)

Min: mínimo.

Max: máximo.

DE: desviación estándar

**Tabla 2**. Discrepancia interna de cofias unitarias de aleación Co-Cr confeccionadas sobre una línea de terminación tipo chamfer con técnica CPCI, según tipo de corte y punto de medición interno.

Tipo de corte	Zona interna	Punto Interno	Min	Max	Promedio	D.E.	Normalidad
	A:-1	b1	19.97	68.49	37.30	12.48	0.1801
Vestíbulo-Palatino	Axial	<b>e</b> 1	14.42	46.65	31.55	8.97	0.89596
vestibulo-Palatino	Oclusal	<b>c</b> 1	59.54	161.76	87.23	27.90	0.01677
	Ociusai	d1	45.06	148.14	102.96	30.22	0.78547
	A: -1	b2	19.46	59.18	42.72	13.31	0.44054
Mesio-Distal	Axial	e2	20.02	65.63	43.16	14.66	0.57824
Mesio-Distai	0 -11	c2	70.40	158.86	106.70	28.38	0.38497
	Oclusal	d2	53.60	147.57	105.67	25.57	0.93999
Discrepancia Total Zo	na Axial		14.42	68.49	38.68	13.06	0.37898
Discrepancia Total Zo	na Oclusal		45.06	161.76	100.64	28.36	0.32494

Prueba Shapiro Wilk (normalidad)

Min: mínimo. Max: máximo.

DE: desviación estándar



**Tabla 3.** Discrepancia marginal de cofias unitarias de aleación Co-Cr confeccionadas sobre una línea de terminación tipo chamfer con SLM en CAD/CAM con escaneo clínico de CEREC AC Omnicam, según tipo de corte y punto de medición marginal.

Tipo de corte	Punto Marginal	Min	Max	Promedio	D.E.	Norm alid ad
Vestíbulo-Palatino	a1	31.43	92.71	67.71	19.75	0.42373
	fl	15.88	116.09	43.35	32.60	0.00137
Mesio-Distal	<b>a</b> 2	32.64	81.21	56.54	17.83	0.04123
	f2	23.87	88.34	47.59	17.77	0.12719
Discrepancia Marginal Total		15.88	116.09	53.80	24.08	0.03026

Prueba Shapiro Wilk (normalidad)

Min: mínimo

Max: máximo.

DE: desviación estándar

Tabla 4. Discrepancia interna de cofias unitarias de aleación Co-Cr confeccionadas sobre una línea de terminación tipo chamfer fabricada con SLM en CAD/CAM con escaneo clínico de CEREC AC Omnicam, según tipo de corte y punto de medición interno.

Tipo de corte	Zona interna	Punto Interno	Min	Max	Promedio	D.E.	Normalidad
	Axial	b1	48.33	117.00	78.52	18.19	0.97758
Vestíbulo-Palatino	Axiai	e1	38.52	86.85	59.23	16.04	0.15674
Vestibulo-Palatino	O alassa1	c1	91.71	198.09	128.88	31.06	0.15265
	Oclusal	d1	77.86	199.98	125.61	36.36	0.12801
	Axial	b2	25.80	83.16	66.89	17.01	0.04403
Mesio-Distal	Axiai	e2	36.01	130.79	100.71	24.20	0.02407
Mesio-Distai	Oclusal	c2	56.80	171.62	108.84	39.26	0.16936
06	Ociusai	d2	58.42	228.24	109.99	46.16	0.07659
Discrepancia Total Zona A	Axial		25.80	130.79	76.34	24.38	0.63826
Discrepancia Total Zona	Oclusal		56.80	228.24	118.33	38.53	0.04989

Prueba Shapiro Wilk (normalidad)

Min: minimo

Max: máximo.

DE: desviación estándar

**Tabla 5**. Comparación de la adaptación marginal de cofias unitarias de aleación Co-Cr confeccionadas sobre una línea de terminación tipo chamfer con CPCI y SLM en CAD/CAM con escaneo clínico de CEREC AC Omnicam, según tipo de corte y punto marginal.

Tipo de corte	Punto Marginal	CPCI	SLM	Diferencia de medias	valor de p	
Vestíbulo-Palatino	al	28.00	67.71	-39.70	< 0.0001	*
vestibulo-Palatino	fl	35.19	43.35	-8.17	0.6629	**
Mesio-Distal	a2	48.32	56.54	-8.22	0.3173	**
Mesio-Distai	f2	61.34	47.59	13.75	0.0764	*
Discrepancia Marginal Total		43.21	53.8	-10.59	0.0163	**

<sup>\*</sup> Prueba t Student



<sup>\*\*</sup> Prueba U Mann Whitney significancia p<0.05

**Tabla 6**. Comparación de la adaptación interna de cofias unitarias de aleación Co-Cr confeccionadas sobre una línea de terminación tipo chamfer con CPCI y SLM en CAD/CAM con escaneo clínico de CEREC AC Omnicam CEREC, según tipo corte y punto de medición interno.

Tipo de corte	Zona interna	Punto interno	CPCI	SLM	Diferencia de medias	valor de p	
	Axial	b1	37.30	78.52	-41.23	< 0.0001	*
	Axiai	e1	31.55	59.23	-27.68	< 0.0001	*
Vestíbulo-Palatino	0-11	c1	87.23	128.88	-41.65	0.0014	*
(	Oclusal	<b>d</b> 1	102.96	125.61	-22.65	0.0969	*
	Axial	b2	42.72	66.89	-24.17	0.0011	**
	Axial	e2	43.16	100.71	-57.56	0.0001	**
Mesio-Distal	Ochisal	c2	106.70	108.84	-2.14	0.8749	*
Oc	Ociusai	d2	105.67	109.99	-4.32	0.7702	*
Discrepancia Total Zona A	Axial		38.68	76.34	-37.66	< 0.0001	*
Discrepancia Total Zona (	Oclusal		100.64	118.33	-17.69	0.0203	**

<sup>\*</sup> Prueba t Student

#### **RESULTADOS**

En la tabla 1 observamos resultados descriptivos de la discrepancia marginal de las cofias obtenidas con la técnica CPCI según tipo de corte y punto de medición marginal. El promedio de la discrepancia marginal total fue de  $43,21 \pm 19,22 \mu m$ , se puede observar que los valores obtenidos de los cortes vestíbulo – palatino (a1, f1) presentaron menor adaptación marginal en comparación a los cortes mesio- palatino (a2, f2). Podemos observar que la mayoría de los valores de la adaptación marginal se encuentran por debajo de los 120 µm para ambos cortes vestíbulopalatino y mesio-distal. En la tabla 2 observamos resultados descriptivos de la discrepancia interna de las cofias obtenidas con la técnica CPCI según tipo de corte y punto de medición interno, podemos observar el valor promedio de la discrepancia total zona axial fue de  $38,68 \pm 13,06$ μm y el valor promedio obtenido en la discrepancia total zona oclusal fue de  $100,64 \pm 28,36 \,\mu m$ , se puede observar que en los puntos oclusales (c1,d1,c2,d2) presenta mayor dispersión en comparación a los puntos axiales (b1,e1,b2,e2), la discrepancia axial es menor en comparación a la discrepancia oclusal por ende existe una mejor adaptación interna a nivel axial en comparación al nivel oclusal. En la tabla 3 observamos resultados descriptivos de la discrepancia marginal de las cofias obtenidas con la técnica SLM en CAD/CAM con escaneo clínico de CEREC AC Omnicam, según tipo de corte y punto marginal, se encontró valor promedio de discrepancia marginal total de 53,80  $\pm$  24,08  $\mu$ m, se puede evidenciar que las discrepancias marginales son menores en el punto f1 y f2. En la tabla 4 observamos resultados descriptivos de la discrepancia interna de las cofias obtenidas con la técnica de SLM en CAD/CAM con escaneo clínico de CEREC AC Omnicam, según tipo de corte y punto de medición interno. El promedio de la discrepancia total zona axial fue de  $76.34 \pm 24.38 \,\mu\text{m}$  y la discrepancia total zona oclusal fue de 118.33 ± 38.53 μm, según los valores obtenidos se observa que la discrepancia



<sup>\*\*</sup> Prueba U Mann Whitney significancia p<0.05

interna axial es menor que la discrepancia interna oclusal. En la tabla 5 se muestra resultados de la comparación de la discrepancia marginal de la técnica CPCI con SLM en CAD/CAM con escaneo clínico de CEREC AC Omnicam según tipo de corte y punto marginal, podemos observar que la discrepancia marginal total para la técnica de CPCI fue de 43,21 µm y para la técnica de SLM fue de 53,8 µm presentando diferencia estadísticamente significativa (p=0,0163). En la tabla 6 se muestra resultados de la comparación de la adaptación interna de la técnica CPCI con SLM en CAD/CAM con escaneo clínico de CEREC AC Omnicam según tipo de corte y puntos de medición interno, El promedio de la discrepancia total zona axial para la técnica CPCI fue de 38,68 µm y para la SLM fue de 76,34 µm con diferencia estadísticamente significativa (p<0,0001). La discrepancia total zona oclusal para la técnica de CPCI fue de 100,64 μm y para la SLM fue de 118,33 μm con diferencia estadísticamente significativa (p=0,0203). Las cofias fabricadas con la técnica de CPCI presentaron mejor adaptación interna en comparación a las cofias fabricadas con la técnica de SLM. Para ambas técnicas la adaptación axial fue menor en comparación a la adaptación oclusal.

## DISCUSIÓN

En el presente estudio, al comparar las medidas de adaptación marginal de las cofias realizadas con técnica CPCI y técnica SLM en CAD/ CAM con escaneo clínico de CEREC AC Omnicam, se obtuvieron resultados concluyentes con valores que se encontraron dentro del parámetro aceptable menor a 120 µm. Siendo la técnica CPCI la que tuvo mejor adaptación marginal, presentando resultados estadísticamente significativos (p<0,05). Respecto a los valores de la adaptación interna de ambos grupos, en sentido vestibulo- palatino y mesio- distal tanto en el corte axial como oclusal los resultados fueron concluyentes con valores que se encontraron dentro del parámetro aceptable menor a 350 μm. Siendo nuevamente la técnica CPCI la que tuvo mejor adaptación interna, presentando resultados estadísticamente significativos (p<0,05). En la actualidad existen muchas técnicas para la elaboración de cofias metálicas, sin embargo, los pocos estudios que comparan la técnica CPCI y SLM, tienen resultados aún debatibles con respecto a la superioridad de una con otra. Kim et al., evaluaron la adaptación marginal e interna de cofias Co-Cr fabricadas por técnicas de fabricación sustractiva: cera perdida, bloque de metal blando y por técnica de fabricación aditiva: microestereolitografía y SLM, las diferencias en las brechas marginales y oclusales entre los grupos fueron estadísticamente significativas, las cofias confeccionadas por técnicas aditiva mostraron la mayor discrepancia marginal y oclusal por encima de lo clínicamente aceptable (26), esto puede deberse a que las técnicas aditivas utilizan fuente de luz y calor para su confección por ello se observa difracción lo cual es un factor de reducción de precisión y posible aumento de deformaciones, siendo la técnica de SLM la más discrepante de todas. Nesse et al., evaluaron la adaptación marginal e interna de cofias de Co-Cr confeccionadas por



técnica de colado convencional, fresado y SLM, obtuvieron diferencias estadísticamente significativas entre cada técnica, presentando mejor ajuste marginal e interno la técnica de fresado, seguido de colado convencional y SLM (27). En el estudio de Nesse et al., las cofias no recibieron arenado lo cual pudo afectar la adaptación de las cofias hechas por la técnica de SLM, debido a que esta técnica genera superficies con mayor rugosidad y presencia de perlas de metal, que aún con el arenado es posible que no se puedan eliminar o alisar completamente, esta presencia de rugosidades pudo también afectar la adaptación en el presente estudio (27). Xu et al., evaluaron la adaptación marginal de cofias de Co-Cr confeccionadas por técnica CPCI y SLM usando un escáner de laboratorio 3Shape D700 y obtuvieron que las cofias hechas por SLM presentaron mejor adaptación marginal (23). Este resultado difiere del presente estudio, donde las discrepancias marginales obtenidas con la técnica CPCI fueron menores a las de SLM en CAD/CAM con escaneo clínico de CEREC AC Omnicam, probablemente a que se usaron dos diferentes técnicas de impresión, una digital hecha con escáner clínico y otra convencional hecha con silicona pesada y fluida, cada una con diferentes materiales, herramientas y procedimientos. Hay pocos estudios que comparan el uso de impresiones digitales usando escaneo clínico con otras técnicas de impresión convencionales para la confección de cofias, uno de ellos es el de Kocaagaoglu et al., donde compararon los efectos de los protocolos de impresión convencional y digital con CEREC Omnicam (Dentsplay Sirona Inc, Philadelphia, USA) y 3Shape Trios (3Shape, Copenhagen, Denmark) en la adaptación marginal e interna de cofias de circonia, se obtuvo que las cofias hechas con ayuda de impresión digital obtuvieron mejor adaptación marginal e interna que las elaboradas a partir de impresión convencional con diferencias estadísticamente significativas (28). En el presente estudio las cofias confeccionadas a partir de impresión convencional mostraron una mejor adaptación marginal e interna, esto puede deberse probablemente a varios parámetros como la tecnología del escáner, diseño de la cofia y técnica de elaboración que pudieron afectar la adaptación de las cofias hechas por SLM. Castillo et al., evaluaron el efecto de tratamientos quimomecánicos de la superficie interna (arenado con partículas de Al2O3 de 125µm y partículas de Al2O3 de 50 µm modificadas con sílice) y externa de cofias metálicas hechas con sinterizado selectivo láser (SLS) y fundidas al vacío, se observaron que luego de confeccionar las cofias de SLS estas tuvieron mayor micro rugosidad (29). Luego de arenar las cofias con Al2O3 de 125µm esta no afectó la micro rugosidad de la superficie de las cofias de SLS, pero provocó micro retenciones, lo que se observó en el estereomicroscopio a nivel oclusal. En el presente estudio también se observó mayor micro rugosidad luego de confeccionar las cofias de SLM, debido a que el proceso de fabricación es muy similar a la de SLS. También se areno las cofias hechas en CPCI y SLM con Al2O3 pero de 110µm y aparentemente no afectaron la adaptación. Según Anadioti et al., indican que las técnicas CAD/CAM debe de realizarse con precaución, especialmente el escaneado del modelo maestro ya que



existe la posibilidad de que cualquier irregularidad fuera compensado por el software en el diseño del modelo 3D (30). Vojdani et al., indica que los sistemas CAD/CAM tienen el potencial de mejorar la precisión al omitir varios métodos de fabricación convencional, se ha introducido algunos pasos adicionales que pueden resultar en imprecisiones que pueden alterar el ajuste de las restauraciones (31). Los sistemas de escaneo tienen la limitación de resolución finita lo que puede dar como resultados problemas de errores positivos (elevaciones virtuales) en bordes y hendiduras especialmente en el sistema CEREC (Dentsplay Sirona Inc, Philadelphia, USA), donde realmente no hay una elevación en la geometría del modelo, esta falsa elevación puede producir un aumento de la discrepancia interna. Se recomienda realizar investigaciones que permitan evaluar la adaptación marginal e interna mediante la utilización de diferentes escáneres intraorales, con diferentes materiales cerámicos o metálicos y con diferentes ángulos de convergencia. Una limitación del estudio fue no haber comparado con otras técnicas de CAD/CAM y no hubo conflicto de interés.

#### **CONCLUSIONES**

Al evaluar la adaptación marginal e interna de cofias metálicas de Co-Cr confeccionadas sobre una línea de terminación chámfer con la técnica CPCI y SLM en CAD/CAM con escaneo clínico, ambas técnicas están dentro de los rangos clínicamente aceptables. La adaptación marginal de las cofias metálicas de Co-Cr fabricadas por la técnica de CPCI fue mejor que las cofias fabricadas en SLM en CAD/CAM con escaneo clínico de CEREC AC Omnicam con diferencia estadísticamente significativa. Al comparar la adaptación interna de cofias metálicas de Co-Cr fabricadas por la técnica de CPCI y SLM en CAD/CAM con escaneo clínico de CEREC AC Omnicam, la CPCI presento mejor adaptación con diferencia estadísticamente significativa tanto a nivel axial como oclusal,

#### REFERENCIAS BIBLIOGRÁFICAS.

- 1. An S, Kim S, Choi H, Lee JH, Moon HS. Evaluating the marginal fit of zirconia copings with digital impressions with an intraoral digital scanner. J Prosthet Dent. 2014;112(5):1171-1175.
- Tsirogiannis P, Reissmann D, Heydecke G. Evaluation of the marginal fit of single-unit, complete-coverage ceramic restorations fabricated after digital and conventional impressions: A systematic review and meta-analysis.J Prosthet Dent.2016;116(3):328-35.
- 3. Flores Y. Evaluación in vitro de las adaptaciones marginal e interna de cofias metálicas de aleación cobalto cromo (Co-Cr) sobre una línea de terminación tipo chamfer, confeccionadas con dos técnicas: cera pérdida colada por centrifugación convencional y el sistema fusión selectiva por láser asistido por computador (CAD/CAM). Tesis para obtener el título profesional de especialista en Rehabilitación Oral. Lima: Universidad Peruana Cayetano Heredia; 2017.



- 4. Euán R, Figueras-Álvarez O, Cabratosa-Termes J, Oliver-Parra R. Marginal adaptation of zirconium dioxide copings: influence of the CAD/CAM system and the finish line design. J Prosthet Dent. 2014;112(2):155-62.
- 5. Abdel-Azim T, Rogers K, Elathamna E, Zandinejad A, Metz M, Morton D. Comparison of the marginal fit of lithium disilicate crowns fabricated with CAD/CAM technology by using conventional impressions and two intraoral digital scanners. J Prosthet Dent. 2015; 114(4): 554-559.
- 6. Bernardo A, Marin D, Echevarria A, Adaptacion marginal y ajuste interno en estructuras de zirconia- Ytria elaboradas con los sistemas CAD/CAM Procera y Cerec in- lab. Rev Fac Odontol Univ Antioq. 2011; 22(2): 186-197.
- 7. Sakornwimon N, Leevailoj C. Clinical marginal fit of zirconia crowns and patients' preferences for impression techniques using intraoral digital scanner versus polyvinyl siloxane material. J Prosthet Dent. 2017; 118(3): 386-91.
- 8. McLean JW, von-Fraunhofer JA. The estimation of cement film thickness by an in vivo technique. Br Dent J. 1971; 1131:107-11.
- 9. Vojdani M, Torabi K, Farjood E, Khaledi A. Comparison the Marginal and Internal Fit of Metal Copings Cast from Wax Patterns Fabricated by CAD/CAM and Conventional Wax up Techniques. J Dent (Shiraz). 2013;14(3):118-29.
- 10. Zeltner M, Sailer I, Mühlemann S, Özcan M, Hämmerle CH, Benic GI. Randomized controlled within-subject evaluation of digital and conventional workflows for the fabrication of lithium disilicate single crowns. Part III: marginal and internal fit. J Prosthet Dent. 2017; 117(3):354-362.
- 11. Olivera AB, Saito T. The effect of die spacer on retention and fitting of complete cast crowns. J Prosthodont. 2006;15(4):243-9.
- 12. Chochlidakis KM, Papaspyridakos P, Geminiani A, Chen CJ, Feng IJ, Ercoli C. Digital versus conventional impressions for fixed prosthodontics: A systematic review and meta-analysis. J Prosthet Dent. 2016;116(2):184-90.
- 13. Contrepois M, Soenen A, Bartala M, Laviole O. Marginal adaptation of ceramic crowns: a systematic review. J Prosthet Dent. 2013;110 (6):447-454.
- 14. Naert I, Van-der-Donck A, Beckers L. Precision of fit and clinical evaluation of all-ceramic full restorations followed between 0.5 and 5 years. J Oral Rehabil. 2005;32(1):51-7.
- 15. Shillingburg H. Fundamentos escenciales en protesis fija. Chicago: Quintessence; 1997.
- 16. Rodriguez D, Hoffma O, Rossell R, Silva S. Evaluación de aleaciones usadas en procedimientos resturadores en odontología. Odous Científica. 2001;1:2-12.
- 17. Giraldo O. Metales y aleaciones en Odontología. Rev Fac Odont Univ Ant. 2004; 15(2): 53-63
- 18. Punj A, Bompolaki D, Garaicoa J. Dental impression materials and techniques. Dent Clin North Am. 2017; 61(4):779-96.
- 19. Ting-Shu S, Jian S. Intraoral digital impression technique: A review. J Prosthodont. 2015; 24(4): 313-21.



- 20. Galhano GÁ, Pellizzer EP, Mazaro JV. Optical impression systems for CAD-CAM restorations. J Craniofac Surg. 2012; 23(6):575-9.
- 21. Wu L, Zhu H, Gai X, Wang Y. Evaluation of the mechanical properties and porcelain bond strength of cobalt-chromium dental alloy fabricated by selective laser melting. J Prosthet Dent. 2014;111(1):51-5.
- 22. Xiang N, Xin XZ, Chen J, Wei B. Metal-ceramic bond strength of Co-Cr alloy fabricated by selective laser melting. J Dent. 2012;40(6):453-7.
- 23. Xu D, Xiang N, Wei B. The marginal fit of selective laser melting-fabricated metal crowns: an in vitro study. J Prosthet Dent. 2014; 112(6):1437-40.
- 24. Kim D-Y, Kim J-H, Kim H-Y, Kim W-C. Comparison and evaluation of marginal and internal gaps in cobalt–chromium alloy copings fabricated using subtractive and additive manufacturing. J Prosthodont Res. 2017; 409: 1-9.
- 25. Nesse H, Mari D, Myhre M, Øilo M. Internal and marginal fit of cobalt-chromium fixed dental prostheses fabricated with three different techniques. J Prosthet Dent. 2015; 114(5): 686-92.
- 26. Kocaagaoglu H, Kılınç HI, Albayrak H. Effect of digital impressions and production protocols on the adaptation of zirconia copings. J Prosthet Dent 2016; 117(1):102-8.
- 27. Castillo R, Osorio R, Osorio E, Sánchez F, Toledano M. The effect of surface treatments on the microroughness of laser-sintered and vacuum-cast base metal alloys for dental prosthetic frameworks. Microsc Res Tech. 2012; 75 (9): 1206-1212.
- 30. Anadioti E, Aquilino SA, Gratton DG, et al. 3D and 2D marginal fit of pressed and CAD/CAM lithium disilicate crowns made from digital and conventional impressions. J Prosthodont. 2014;23:610-7.
- 31. Vojdani M, Torabi K, Farjood E. Comparison the marginal and internal fit of metal copings cast from wax patterns fabricated by CAD/CAM and conventional wax up techniques. 2013; 14(3): 118–129.



## Notas de autor

- a Cirujano Dentista
- b Especialista en Rehabilitación Oral
- a Cirujano Dentista
- b Especialista en Rehabilitación Oral
- a Cirujano Dentista
- b Especialista en Rehabilitación Oral
- c Magister en Estomatología
- d Docente
- a Cirujano Dentista
- b Especialista en Rehabilitación Oral
- c Magister en Estomatología
- d Docente

Maria Alejandra Spoljaric Muñoz: Jr. Arica 126 Dpto 402 –San Miguel Lima, Perú Correo electrónico: maria.spoljaric@upch.pe

#### Enlace alternativo

https://revistas.upch.edu.pe/index.php/REH/article/view/3818/4298 (pdf)

